

Elemirész-ütközések nagy pontosságú leírása

Somogyi Gábor
Debreceni Egyetem

Bevezetés

Az elemirész-fizika alapvető kérdése

Kérdés: miből van a világ és mi tartja egyben – vagyis melyek a szubatomi méretskálán érvényesülő természeti törvények?

- melyek az anyag alapvető építőkövei?
- milyen kölcsönhatások hatnak köztük?

Jelenlegi legjobb válaszuk: a részecskefizika standard modellje

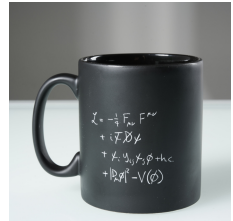
- 12 elemi fermion (6 lepton + 6 kvark)
- 3 alapvető mértékkölcsönhatás (elektromágneses, gyenge, erős) + Higgs mechanizmus

Az anyagi részecskék három családja (fermionok)

	I	II	III		
tömeg →	2,3 MeV/c ²	1,27 GeV/c ²	173 GeV/c ²	0	125 GeV/c ²
töltés →	2/3	2/3	2/3	0	0
spin →	1/2	1/2	1/2	1	0
név →	u-kvark	c-kvark	t-kvark	foton	Higgs-bozon
kvarkok	4,8 MeV/c ² -1/3 1/2 d-kvark	95 MeV/c ² -1/3 1/2 s-kvark	4,2 GeV/c ² -1/3 1/2 b-kvark	0 0 1 gluon	g
leptonok	<2,2 eV/c ² 0 1/2 elektron-neutrínó	<0,17 MeV/c ² 0 1/2 müon-neutrínó	<15,5 MeV/c ² 0 1/2 tau-neutrínó	0 0 1 Z-bozon	Z ⁰
	0,511 MeV/c ² -1 1/2 elektron	105,7 MeV/c ² -1 1/2 müon	1,777 GeV/c ² -1 1/2 tau	80,4 GeV/c ² ±1 1 W-bozon	W [±]

Bozonok (kölcsönhatások)

[Forrás: Wikipédia]



A **standard modell** rendkívül sikeresen írja le a részecskefizikai jelenségek széles körét.

Ugyanakkor, a standard modell nem lehet az elemirész-fizika végső modellje, hiszen nem ad magyarázatot számos megfigyelt jelenségre:

- gravitáció
- sötét anyag, sötét energia
- anyag-antianyag aszimmetria
- neutrínó tömegek, neutrínó oszcilláció
- a standard modell „mintázatai”: részecskecsaládok száma, mértékcsoport, CKM mátrix szerkezete, stb.
- ...

Mi van a standard modellen túl?

A válasz megtalálásának egyik legfontosabb eszköze a nagyenergiás elemirész-ütközési folyamatok tanulmányozása.

- nagyobb energia \Rightarrow kisebb méretskálák

Az eszköz: a Nagy Hadronütköztető (Large Hadron Collider, LHC), amely a laboratóriumi körülmények között eddig elért legnagyobb energiájú ütközések előállítására képes.

- proton-proton és nehézion ütköztető
- az eddigi két adatgyűjtési szakaszban 7, 8 és 13 TeV teljes energia (pp ütközésben)
- jelenleg a harmadik adatgyűjtési szakaszra való felkészülés zajlik

Hol tartunk?

Amit lehetett, azt **megmértük**

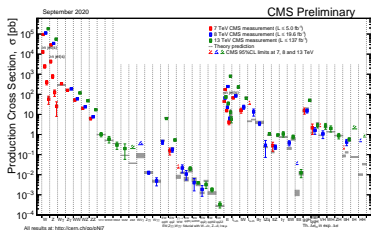
- alapvető folyamatok (pl. W^- , Z -bozon keltés) $\leq 1\%$ -os kísérleti pontossággal ismertek

Ugyanakkor egyelőre **nem látunk** a standard modellen túli (BSM) fizikára utaló **közvetlen** jeleket

- jellemzően hatalmas hátterek

Az LHC tervezett működésének az elején járunk

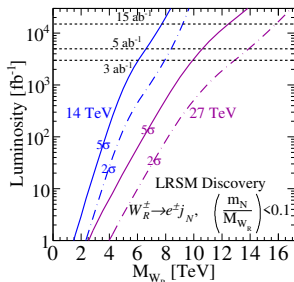
- ezidáig a várható teljes adathalmaz csupán $\sim 10\%$ -át gyűjtöttük be



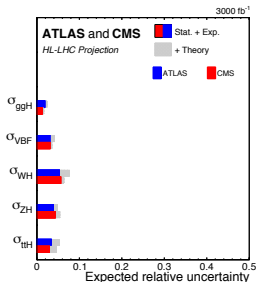
- Standard modell folyamatok hatáskeresztmetszetei

Hogyan aknázzuk ki a legteljesebb módon az LHC nyújtotta lehetőségeket?

Közvetlen felfedezés vagy közvetett jelek?



[CERN Yellow Rep. Monogr. 7 (2019) 585]



[CERN Yellow Rep. Monogr. 7 (2019) 221]

- Az új részecskék **közvetlen** keresése egyre **nehézkesebb és lassabb** lesz.
- Ugyanakkor kiváló lehetőség **nagy pontosságú mérések** elvégzéséhez.

A nagy pontosság kihívásával az elméleti oldalon is szembe kell néznünk!

Két lecke a közelmúltból

Korai $pp \rightarrow WW$ hatáskeresztmetszet mérések az LHC-n

- ATLAS @ 8 TeV

[ATLAS-CONF-2014-033]

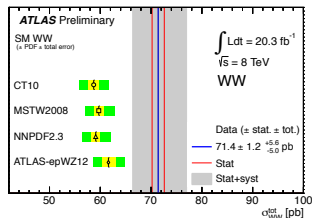
$$\sigma(pp \rightarrow WW) = 71.4^{+1.2}_{-1.2}(\text{stat})^{+5.0}_{-4.4}(\text{syst})^{+2.2}_{-2.1}(\text{lumi}) \text{ pb}$$

- Standard modell jóslat NLO rendben

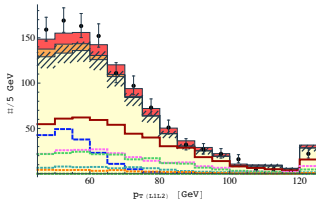
$$\sigma_{\text{NLO}}(pp \rightarrow WW) = 58.7^{+3.0}_{-2.7} \text{ pb}$$

- Hasonló eltérés a CMS-nél és 7 TeV-en

$$\Delta(\text{mérés/NLO, ATLAS+CMS}) \sim 3\sigma$$



Remek! Szuperszimmetrikus csardzsínó párkeltés (alaposan tanulmányozott) jele.



- csardzsínó párkeltés járuléka
- $m(\chi^\pm) = 110 \text{ GeV}$

[Phys. Rev. D 87 (2013) 3, 031701]

Elméleti fejlemények

- Második kvantum-színdinamikai sugárzási (NNLO QCD) korrekciók kiszámolása \Rightarrow az NNLO korrekció figyelembevétele az NLO jóslatot $\sim +10\%$ -al növeli

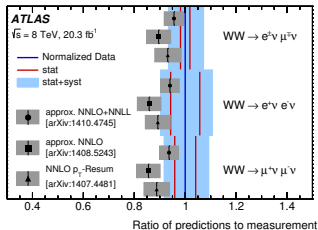
[Phys. Rev. Lett. 113 (2014) 21, 212001]

\sqrt{s}	$\sigma_{\text{inclusive}} [\text{fb}]$		$\sigma/\sigma_{\text{NLO}} - 1$	
	8 TeV	13 TeV	8 TeV	13 TeV
LO	425.41(4) $^{+2.8\%}_{-3.6\%}$	778.99 (8) $^{+5.7\%}_{-6.7\%}$	-31.8%	-35.4%
NLO	623.47(6) $^{+3.6\%}_{-2.9\%}$	1205.11(12) $^{+3.9\%}_{-3.1\%}$	0	0
NLO'	635.95(6) $^{+3.6\%}_{-2.8\%}$	1235.82(13) $^{+3.9\%}_{-3.1\%}$	+ 2.0%	+ 2.5%
NLO'+gg	655.83(8) $^{+4.3\%}_{-3.3\%}$	1286.81(13) $^{+4.8\%}_{-3.7\%}$	+ 5.2%	+ 6.8%
NNLO	690.4(5) $^{+2.2\%}_{-1.9\%}$	1370.9(11) $^{+2.6\%}_{-2.3\%}$	+10.7%	+13.8%

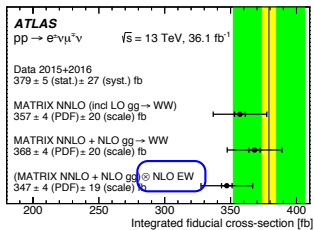
[JHEP 08 (2016) 140]

- Az analízis egyéb elemeinek (pl. a háttér elnyomásához használt dzset-vétó) megfelelő modellezésében is fontos szerepet játszanak a magasabb rendű perturbatív járulékok.

A végső összehasonlítás 8 TeV-en, illetve 13 TeV-en



[JHEP 09 (2016) 029]



[Eur. Phys. J. C 79 (2019) 10]

Tanulságok:

- A **pontos és megfelelően kontrollált** elméleti jóslat alapvető fontosságú.
- A **magasabb rendű perturbatív effektusok** szerepe jelentős.
- Mára a **magasabb rendű elektromágneses korrekciók** kiszámolása is lényegessé vált.

t-kvarkok keletkezése a Tevatron-on

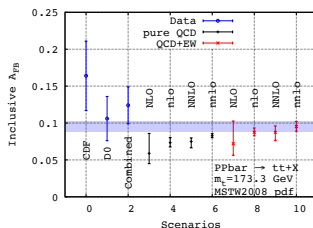
- A Tevatron proton-antiproton ($p\bar{p}$) ütköztető, a keletkező t-kvark jellemzően a proton nyaláb iránya által definiált térrészbe szóródik.
- Ez lehetővé teszi egy „előre-hátra” **aszimmetria** definiálását. Ha $\Delta y \equiv y_t - y_{\bar{t}}$ t-kvark és a t-antikvark rapiditásának a különbsége, akkor

$$A_{FB} = \frac{\sigma(\Delta y > 0) - \sigma(\Delta y < 0)}{\sigma(\Delta y > 0) + \sigma(\Delta y < 0)}$$

t-kvark előre-hátra aszimmetria

- A mérések és elméleti jósálatok **eltérése** kezdetben $> 3\sigma$, majd a mérések finomítása után $\sim 2-3\sigma$.
- **Új fizika?** (Pl. új nehéz semleges vektorbozon.)
Kritikus a magasabb rendű perturbatív járulékok ismerete.
- A második kvantum-színdinamikai sugárzási korrekciókon (NNLO QCD) kívül **fontos** az első elektromgyenge **sugárzási korrekció** (NLO EW) figyelembe vétele is.

[Phys. Rev. Lett. 115 (2015) 5, 052001]



pontosabb modellezés

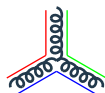
Hatáskeresztmetszetek a QCD-ben

Az erős kölcsönhatás

Az LHC proton-proton ütköztető, ezért az **erős kölcsönhatás** minden ütközésben szerepet kap.

Az erős kölcsönhatás

- A **kvarkok** (—) **színtöltései** között ható nemabeli mértékkölcsönhatás (kvantum-színdinamika, quantum chromodynamics, QCD).
- A kölcsönhatást közvetítő bozonok, a **gluonok** (⌀) is **hordoznak színtöltést**.



- A QCD **aszimptotikusan szabad** elmélet: a kvarkok és gluonok (együttesen **partonok**) közötti kölcsönhatás erőssége az energia növelésével csökken.

A **QCD alapos elméleti megértése elengedhetetlen** az LHC kísérleti adatainak értelmezéséhez.

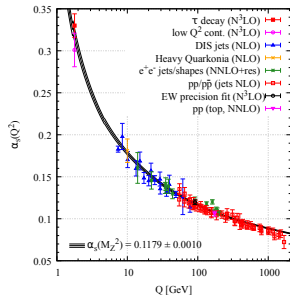
A QCD nagyenergiás részecskeütközési folyamatok leírására történő alkalmazásának eszköze a **perturbációszámítás**.

- a vizsgált mennyiséget valamely „kis” paraméter szerinti sorfejtésként állítjuk elő

$$\sigma = \alpha_S^p \left[\sigma_0 + \alpha_S \sigma_1 + \alpha_S^2 \sigma_2 + \dots \right]$$

Az erős csatolás

- a QCD-ben a kölcsönhatás erősségét jellemző „kis” paraméter az ún. erős csatolás, tipikus számértéke, $\alpha_S(Q) \sim 0.1$
- a perturbatív módszer alkalmazhatóságának alapja a QCD esetén az **aszimptotikus szabadság**: $\alpha_S(Q)$ értéke az ütközési energia növelésével csökken



[PDG Review of Particle Physics (2021)]

A jóslat pontossága **javítható** több tag figyelembevételével.

- a vezető rendű (leading order, **LO**) jóslat a QCD-ben nagyságrendi becslés
- legalább az első korrekció (next-to-leading order, **NLO**) figyelembevétele szükséges a mennyiségek realisztikus becsléséhez
- a második korrekció (next-to-next-to-leading order, **NNLO**) kiszámolása fontossá válik, ha nagy pontosságú elméleti becslésre van szükség

Cél: az NNLO QCD korrekciók kiértékelését lehetővé tevő általános és hatékony számolási eljárás megfogalmazása.

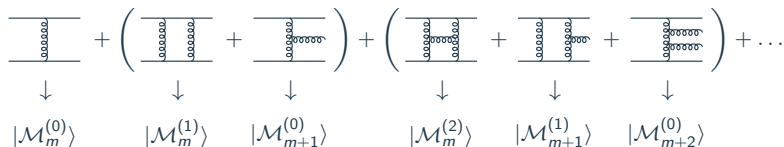
A hatáskeresztmetszet a perturbációszámításban

A hatáskeresztmetszetet az erős csatolás, $\alpha_S(\mu)$ szerinti sor alakjában írjuk fel:

$$\sigma_m = \alpha_S^p(\mu) \left[\sigma_m^{\text{LO}} + \alpha_S(\mu) \sigma_m^{\text{NLO}} + \alpha_S^2(\mu) \sigma_m^{\text{NNLO}} + \dots \right]$$

A hatáskeresztmetszet kiszámolása két alapvető problémát vet fel

1. ki kell számolni reakcióhoz tartozó kvantummechanikai átmeneti valószínűségi amplitúdót („mátrixelemeket”) a perturbatív korrekcióival (magasabb rend \sim több vertex) együtt, pl.



The diagram shows a series of Feynman diagrams representing matrix elements. It starts with a tree-level diagram (LO) on the left, followed by a group of two diagrams in parentheses representing NLO corrections. This is followed by another group of three diagrams in parentheses representing NNLO corrections. Each diagram has a downward arrow pointing to a corresponding matrix element label: $|\mathcal{M}_m^{(0)}\rangle$, $|\mathcal{M}_m^{(1)}\rangle$, $|\mathcal{M}_{m+1}^{(0)}\rangle$, $|\mathcal{M}_m^{(2)}\rangle$, $|\mathcal{M}_{m+1}^{(1)}\rangle$, and $|\mathcal{M}_{m+2}^{(0)}\rangle$. The diagrams consist of horizontal lines representing particles and vertical wavy lines representing interactions.

2. az átmeneti valószínűséget összegezni és integrálni kell a különböző végállapot konfigurációkra, pl. a végállapot részecskék típusára és impulzusaira („fázistér integrálás”)

Egy általános m -dzset hatáskeresztmetszethez tartozó NNLO korrekció három tag összege

$$\sigma^{\text{NNLO}} = \int_{m+2} d\sigma_{m+2}^{\text{RR}} J_{m+2} + \int_{m+1} d\sigma_{m+1}^{\text{RV}} J_{m+1} + \int_m d\sigma_m^{\text{VV}} J_m.$$

A három tagban a **végállapoti részecskék száma különböző**, ezért különböző fázisterek felett kell őket integrálni:

1. duplán valós $d\sigma_{m+2}^{\text{RR}} = d\phi_{m+2} |\mathcal{M}_{m+2}^{(0)}|^2$
2. valós-virtuális $d\sigma_{m+1}^{\text{RV}} = d\phi_{m+1} 2\Re\langle \mathcal{M}_{m+1}^{(0)} | \mathcal{M}_{m+1}^{(1)} \rangle$
3. duplán virtuális $d\sigma_m^{\text{VV}} = d\phi_m \left[2\Re\langle \mathcal{M}_m^{(0)} | \mathcal{M}_m^{(2)} \rangle + |\mathcal{M}_m^{(1)}|^2 \right]$

J_n az ún. **dzset függvény** (vagy mérőfüggvény), a fizikai mennyiséget definiálja, amelyet számolunk.

- alakja (bizonyos feltételek mellett) tetszőlegesen bonyolult lehet, tartalmazhat fázistér vágásokat, Dirac-féle δ -függvényeket, stb.
- ezért a fázistérintegrálok analitikus elvégzése általában reménytelen, az integrálást numerikusan kell elvégezni

Egy partont **feloldatlannak** nevezünk, ha az energiája sokkal kisebb, mint a többi parton jellemző energiája (**lágú** határeset), vagy ha impulzusa közel párhuzamos egy másik parton impulzusával (**kollineáris** határeset).

Képletesen ha egy $n + p$ -részecskés végállapotban p parton feloldatlan, akkor a végállapoti impulzus konfiguráció $n + p$ impulzusa megkülönböztethetetlen egy n -részecskés végállapot impulzus konfigurációjától. Ekkor p -szeresen feloldatlan konfigurációról beszélünk.

LO rendben az összes végállapoti parton feloldott (definíció szerint), NLO rendben legfeljebb egy parton válhat feloldatlanná, NNLO rendben kétszeresen feloldatlan konfigurációk is előfordulhatnak.

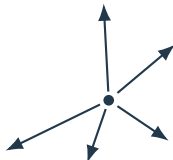
Egy partont **feloldatlannak** nevezünk, ha az energiája sokkal kisebb, mint a többi parton jellemző energiája (**lágú** határeset), vagy ha impulzusa közel párhuzamos egy másik parton impulzusával (**kollineáris** határeset).

Képletesen ha egy $n + p$ -részecskés végállapotban p parton feloldatlan, akkor a végállapoti impulzus konfiguráció $n + p$ impulzusa megkülönböztethetetlen egy n -részecskés végállapot impulzus konfigurációjától. Ekkor p -szeresen feloldatlan konfigurációról beszélünk.

LO rendben az összes végállapoti parton feloldott (definíció szerint), NLO rendben legfeljebb egy parton válhat feloldatlanná, NNLO rendben kétszeresen feloldatlan konfigurációk is előfordulhatnak.

Példák:

- 5 feloldott parton, 0 feloldatlan parton
- az összes impulzus „elkülönül” és „kemény”



Feloldatlan partonok

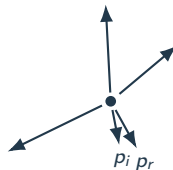
Egy partont **feloldatlannak** nevezünk, ha az energiája sokkal kisebb, mint a többi parton jellemző energiája (**lágú** határeset), vagy ha impulzusa közel párhuzamos egy másik parton impulzusával (**kollineáris** határeset).

Képletesen ha egy $n + p$ -részecskés végállapotban p parton feloldatlan, akkor a végállapoti impulzus konfiguráció $n + p$ impulzusa megkülönböztethetetlen egy n -részecskés végállapot impulzus konfigurációjától. Ekkor p -szeresen feloldatlan konfigurációról beszélünk.

LO rendben az összes végállapoti parton feloldott (definíció szerint), NLO rendben legfeljebb egy parton válhat feloldatlanná, NNLO rendben kétszeresen feloldatlan konfigurációk is előfordulhatnak.

Példák:

- 4 feloldott parton, 1 feloldatlan parton
- egy pár impulzus kollineáris, $p_i \parallel p_r$



Feloldatlan partonok

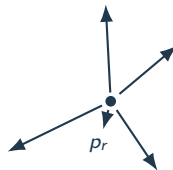
Egy partont **feloldatlannak** nevezünk, ha az energiája sokkal kisebb, mint a többi parton jellemző energiája (**lágy** határeset), vagy ha impulzusa közel párhuzamos egy másik parton impulzusával (**kollineáris** határeset).

Képletesen ha egy $n + p$ -részecskés végállapotban p parton feloldatlan, akkor a végállapoti impulzus konfiguráció $n + p$ impulzusa megkülönböztethetetlen egy n -részecskés végállapot impulzus konfigurációjától. Ekkor p -szeresen feloldatlan konfigurációról beszélünk.

LO rendben az összes végállapoti parton feloldott (definíció szerint), NLO rendben legfeljebb egy parton válhat feloldatlanná, NNLO rendben kétszeresen feloldatlan konfigurációk is előfordulhatnak.

Példák:

- 4 feloldott parton, 1 feloldatlan parton
- egy impulzus lágy, $p_r \rightarrow 0$



Feloldatlan partonok

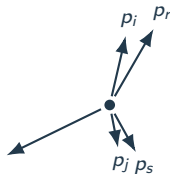
Egy partont **feloldatlannak** nevezünk, ha az energiája sokkal kisebb, mint a többi parton jellemző energiája (**lágú** határeset), vagy ha impulzusa közel párhuzamos egy másik parton impulzusával (**kollineáris** határeset).

Képletesen ha egy $n + p$ -részecskés végállapotban p parton feloldatlan, akkor a végállapoti impulzus konfiguráció $n + p$ impulzusa megkülönböztethetetlen egy n -részecskés végállapoti impulzus konfigurációjától. Ekkor p -szeresen feloldatlan konfigurációról beszélünk.

LO rendben az összes végállapoti parton feloldott (definíció szerint), NLO rendben legfeljebb egy parton válhat feloldatlanná, NNLO rendben kétszeresen feloldatlan konfigurációk is előfordulhatnak.

Példák:

- 3 feloldott parton, 2 feloldatlan parton
- két pár impulzus kollineáris, $p_i || p_r$ és $p_j || p_s$



Feloldatlan partonok

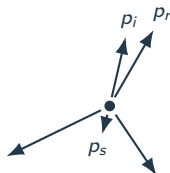
Egy partont **feloldatlannak** nevezünk, ha az energiája sokkal kisebb, mint a többi parton jellemző energiája (**lágy** határeset), vagy ha impulzusa közel párhuzamos egy másik parton impulzusával (**kollineáris** határeset).

Képletesen ha egy $n + p$ -részecskés végállapotban p parton feloldatlan, akkor a végállapoti impulzus konfiguráció $n + p$ impulzusa megkülönböztethetetlen egy n -részecskés végállapot impulzus konfigurációjától. Ekkor p -szeresen feloldatlan konfigurációról beszélünk.

LO rendben az összes végállapoti parton feloldott (definíció szerint), NLO rendben legfeljebb egy parton válhat feloldatlanná, NNLO rendben kétszeresen feloldatlan konfigurációk is előfordulhatnak.

Példák:

- 3 feloldott parton, 2 feloldatlan parton
- egy pár impulzus kollineáris, egy harmadik impulzus lágy, $p_i || p_r$ és $p_s \rightarrow 0$



A probléma – infravörös divergenciák

Egy általános m -dzset hatáskeresztmetszethez tartozó NNLO korrekció három tag összege

$$\sigma^{\text{NNLO}} = \int_{m+2} d\sigma_{m+2}^{\text{RR}} J_{m+2} + \int_{m+1} d\sigma_{m+1}^{\text{RV}} J_{m+1} + \int_m d\sigma_m^{\text{VV}} J_m$$

A probléma – infravörös divergenciák

Egy általános m -dzset hatáskeresztmetszethez tartozó NNLO korrekció három tag összege

$$\sigma^{\text{NNLO}} = \int_{m+2} d\sigma_{m+2}^{\text{RR}} J_{m+2} + \int_{m+1} d\sigma_{m+1}^{\text{RV}} J_{m+1} + \int_m d\sigma_m^{\text{VV}} J_m$$

Duplán valós

- fa szintű mátrixelemek, $m+2$ -részezcskés kinematika
- a mátrixelem divergál, ha egy vagy két parton feloldatlan
- a fázistér integrál divergens (dim. reg.-ben ϵ pólusok a fázistér integrálból $O(\epsilon^{-4})$ -ig)
- nincsenek hurkok, nincs explicit ϵ pólus

A probléma – infravörös divergenciák

Egy általános m -dzset hatáskeresztmetszethez tartozó NNLO korrekció három tag összege

$$\sigma^{\text{NNLO}} = \int_{m+2} d\sigma_{m+2}^{\text{RR}} J_{m+2} + \int_{m+1} d\sigma_{m+1}^{\text{RV}} J_{m+1} + \int_m d\sigma_m^{\text{VV}} J_m$$

Duplán valós

- fa szintű mátrixelemek, $m+2$ -részcskés kinematika
- a mátrixelem divergál, ha egy vagy két parton feloldatlan
- a fázistér integrál divergens (dim. reg.-ben ϵ pólusok a fázistér integrálból $O(\epsilon^{-4})$ -ig)
- nincsenek hurkok, nincs explicit ϵ pólus

Valós-virtuális

- egy-hurok mátrixelemek, $m+1$ -részcskés kinematika
- a mátrixelem divergál, ha egy parton feloldatlan
- a fázistér integrál divergens (dim. reg.-ben ϵ pólusok a fázistér integrálból $O(\epsilon^{-2})$ -ig)
- egy hurok, dim. reg.-ben explicit ϵ pólusok a hurok integrálból $O(\epsilon^{-2})$ -ig

A probléma – infravörös divergenciák

Egy általános m -dzset hatáskeresztmetszethez tartozó NNLO korrekció három tag összege

$$\sigma^{\text{NNLO}} = \int_{m+2} d\sigma_{m+2}^{\text{RR}} J_{m+2} + \int_{m+1} d\sigma_{m+1}^{\text{RV}} J_{m+1} + \int_m d\sigma_m^{\text{VV}} J_m$$

Duplán valós

- fa szintű mátrixelemek, $m+2$ -részecskés kinematika
- a mátrixelem divergál, ha egy vagy két parton feloldatlan
- a fázistér integrál divergens (dim. reg.-ben ϵ pólusok a fázistér integrálból $O(\epsilon^{-4})$ -ig)
- nincsenek hurkok, nincs explicit ϵ pólus

Valós-virtuális

- egy-hurok mátrixelemek, $m+1$ -részecskés kinematika
- a mátrixelem divergál, ha egy parton feloldatlan
- a fázistér integrál divergens (dim. reg.-ben ϵ pólusok a fázistér integrálból $O(\epsilon^{-2})$ -ig)
- egy hurok, dim. reg.-ben explicit ϵ pólusok a hurok integrálból $O(\epsilon^{-2})$ -ig

Duplán virtuális

- két-hurok mátrixelemek, m -részecskés kinematika
- a feloldatlan partonokhoz tartozó divergenciákat a dzset függvény kiszűri
- a fázistér integrál véges
- két hurok, dim. reg.-ben explicit ϵ pólusok a hurok integrálokból $O(\epsilon^{-4})$ -ig

A Kinoshita-Lee-Nauenberg tétel

Egy általános m -dzset hatáskeresztmetszethez tartozó NNLO korrekció három tag összege

$$\sigma^{\text{NNLO}} = \int_{m+2} d\sigma_{m+2}^{\text{RR}} J_{m+2} + \int_{m+1} d\sigma_{m+1}^{\text{RV}} J_{m+1} + \int_m d\sigma_m^{\text{VV}} J_m$$

azonban naivan (pl. $d = 4$ dimenzióban) **mindhárom divergens** (UV renormálás után is)!

Kinoshita-Lee-Nauenberg tétel

Elegendően inkluzív („infravörös és kollineáris biztonságos”) mennyiségek esetén az infravörös szingularitások a perturbációszámítás adott rendjében a valós és virtuális járulékok között kiesnek. Vagyis megfelelően definiált fizikai mennyiségekhez a teljes korrekció véges.

Azonban

A különböző járulékokat (RR, RV és VV) általában csak numerikusan lehet kiértékelni. (Hiszen J_n tetszőlegesen bonyolult lehet.) Ezért bármilyen konkrét mennyiség számszerű meghatározásához a közbenső lépésekben megjelenő divergenciákat konzisztens módon kezelni kell.

Sugárzási korrekciók kezelése levonással

Ötlet

Alkalmasan megválasztott **közelítő hatáskeresztmetszetek** segítségével rendezzük át a szingularitásokat a teljes sugárzási korrekció egyes járulékai között olyan módon, hogy az átrendezés után minden járulék külön-külön is véges legyen!

Ki szeretnénk számolni σ -t $\epsilon = 0$ -nál

$$\sigma = \int_0^1 d\sigma^R(x) + \sigma^V \quad \text{ahol}$$

$$\begin{aligned} d\sigma^R(x) &= dx x^{-1-\epsilon} R(x), & R(0) &= R_0 < \infty \\ \sigma^V &= R_0/\epsilon + V, & V &< \infty \end{aligned}$$

Ki szeretnénk számolni σ -t $\epsilon = 0$ -nál

$$\sigma = \int_0^1 d\sigma^R(x) + \sigma^V \quad \text{ahol} \quad \begin{aligned} d\sigma^R(x) &= dx x^{-1-\epsilon} R(x), & R(0) &= R_0 < \infty \\ \sigma^V &= R_0/\epsilon + V, & V &< \infty \end{aligned}$$

1. definiáljunk egy levonási ellentagot, $d\sigma^{R,A}(x)$ -t, amelynek a szingularitás szerkezete megegyezik $d\sigma^R(x)$ szingularitás szerkezetével

$$d\sigma^{R,A}(x) = dx x^{-1-\epsilon} R_0$$

Szingularitások átrendezése levonással

Ki szeretnék számolni σ -t $\epsilon = 0$ -nál

$$\sigma = \int_0^1 d\sigma^R(x) + \sigma^V \quad \text{ahol} \quad \begin{aligned} d\sigma^R(x) &= dx x^{-1-\epsilon} R(x), & R(0) &= R_0 < \infty \\ \sigma^V &= R_0/\epsilon + V, & V &< \infty \end{aligned}$$

- definiáljunk egy levonási ellentagot, $d\sigma^{R,A}(x)$ -t, amelynek a szingularitás szerkezete megegyezik $d\sigma^R(x)$ szingularitás szerkezetével

$$d\sigma^{R,A}(x) = dx x^{-1-\epsilon} R_0$$

- használjuk az ellentagot a szingularitás átrendezésére

$$\begin{aligned} \sigma &= \int_0^1 \left[d\sigma^R(x) - d\sigma^{R,A}(x) \right]_{\epsilon=0} + \left[\sigma^V + \int_0^1 d\sigma^{R,A}(x) \right]_{\epsilon=0} \\ &= \int_0^1 dx \left[\frac{R(x) - R_0}{x^{1+\epsilon}} \right]_{\epsilon=0} + \left[\frac{R_0}{\epsilon} + V - \frac{R_0}{\epsilon} \right]_{\epsilon=0} \\ &= \int_0^1 dx \frac{R(x) - R_0}{x} + V \end{aligned}$$

Szingularitások átrendezése levonással

Ki szeretnénk számolni σ -t $\epsilon = 0$ -nál

$$\sigma = \int_0^1 d\sigma^R(x) + \sigma^V \quad \text{ahol} \quad \begin{aligned} d\sigma^R(x) &= dx x^{-1-\epsilon} R(x), & R(0) &= R_0 < \infty \\ \sigma^V &= R_0/\epsilon + V, & V &< \infty \end{aligned}$$

1. definiáljunk egy levonási ellentagot, $d\sigma^{R,A}(x)$ -t, amelynek a szingularitás szerkezete megegyezik $d\sigma^R(x)$ szingularitás szerkezetével

$$d\sigma^{R,A}(x) = dx x^{-1-\epsilon} R_0$$

2. használjuk az ellentagot a szingularitás átrendezésére

$$\begin{aligned} \sigma &= \int_0^1 \left[d\sigma^R(x) - d\sigma^{R,A}(x) \right]_{\epsilon=0} + \left[\sigma^V + \int_0^1 d\sigma^{R,A}(x) \right]_{\epsilon=0} \\ &= \int_0^1 dx \left[\frac{R(x) - R_0}{x^{1+\epsilon}} \right]_{\epsilon=0} + \left[\frac{R_0}{\epsilon} + V - \frac{R_0}{\epsilon} \right]_{\epsilon=0} \\ &= \int_0^1 dx \frac{R(x) - R_0}{x} + V \end{aligned}$$

3. az utolsó sorban mindkét tag véges, numerikusan kiszámítható

Adott m -dzset mennyiség NLO korrekciója két tag, a valós és virtuális járulékok, összege

$$\sigma^{\text{NLO}}[J] = \int_{m+1} d\sigma_{m+1}^{\text{R}} J_{m+1} + \int_m d\sigma_m^{\text{V}} J_m$$

A két járulék külön-külön infravörös **divergens**, de csak az **egyszeresen feloldatlan** konfigurációk szingulárisak. A szingularitások átrendezhetőek egyetlen közelítő hatáskeresztmetszet segítségével

$$\sigma^{\text{NLO}}[J] = \int_{m+1} \left[d\sigma_{m+1}^{\text{R}} J_{m+1} - d\sigma_{m+1}^{\text{R},A_1} J_m \right]_{d=4} + \int_m \left[d\sigma_m^{\text{V}} + \int_1 d\sigma_{m+1}^{\text{R},A_1} \right]_{d=4} J_m$$

A közelítő hatáskeresztmetszetek pontos definiálásához figyelembe kell venni, hogy:

- $d\sigma_{m+1}^{\text{R},A_1}$ és $d\sigma_{m+1}^{\text{R}}$ szingularitás szerkezete meg kell, hogy egyezzen (d dimenzióban)
- $d\sigma_{m+1}^{\text{R},A_1}$ -et összegeznünk és integrálnunk kell a feloldatlan parton kvantumszámaira és impulzusára (\int_1)

A közelítő hatáskeresztmetszet megszerkesztésére NLO rendben több eljárás ismert \Rightarrow különböző levonási sémák

CoLoRFuINNLO: Completely Local subReactions for Fully differential NNLO

[Del Duca, SG, Trócsányi 2005-6]

Adott m -dzeset mennyiség NNLO korrekciója három tag összege

$$\sigma^{\text{NNLO}}[J] = \int_{m+2} d\sigma_{m+2}^{\text{RR}} J_{m+2} + \int_{m+1} d\sigma_{m+1}^{\text{RV}} J_{m+1} + \int_m d\sigma_m^{\text{VV}} J_m$$

A három járulék külön-külön infravörös **divergens**, az **egyszeresen** és **kétszeresen** feloldatlan konfigurációk szingulárisak.

- RR: egyszeresen és kétszeresen feloldatlan valós emisszió
- RV: egyszeresen feloldatlan valós emisszió \oplus ϵ -pólusok az $m+1$ -partonos egy-hurok mátrixelemekből
- VV: ϵ -pólusok az m -partonos két-hurok mátrixelemekből

Az ellentagoknak mind az egyszeresen, mind a kétszeresen feloldatlan valós emissziót regularizálni kell \Rightarrow több különböző közelítő hatáskeresztmetszet levonása szükséges.

Az RR járulékból külön levonások regularizálják az egy illetve két feladatlan parthoz tartozó szingularitásokat

$$\sigma_{m+2}^{\text{NNLO}} = \int_{m+2} \left\{ d\sigma_{m+2}^{\text{RR}} J_{m+2} - d\sigma_{m+2}^{\text{RR},A_2} J_m - \left[d\sigma_{m+2}^{\text{RR},A_1} J_{m+1} - d\sigma_{m+2}^{\text{RR},A_{12}} J_m \right] \right\}_{d=4}$$

- A_1 és A_2 metszete nem üres $\Rightarrow A_{12}$ szerepe a dupla levonás elkerülése a metszeten

Az RV járulékból csak egyszeresen feladatlan valós emisszió fordul elő

$$\sigma_{m+1}^{\text{NNLO}} = \int_{m+1} \left\{ \left[d\sigma_{m+1}^{\text{RV}} + \int_1 d\sigma_{m+2}^{\text{RR},A_1} \right] J_{m+1} - \left[d\sigma_{m+1}^{\text{RV},A_1} + \left(\int_1 d\sigma_{m+2}^{\text{RR},A_1} \right) A_1 \right] J_m \right\}_{d=4}$$

- Az integrált A_1 az RR járulékból maga is szinguláris \Rightarrow ehhez a taghoz saját levonást kell bevezetni (utolsó tag)

Az m -partonos járulékból a duplán virtuális korrekciót és integrált levonásokat tartalmaz

$$\sigma_m^{\text{NNLO}} = \int_m \left\{ d\sigma_m^{\text{VV}} + \int_2 \left[d\sigma_{m+2}^{\text{RR},A_2} - d\sigma_{m+2}^{\text{RR},A_{12}} \right] + \int_1 \left[d\sigma_{m+1}^{\text{RV},A_1} + \left(\int_1 d\sigma_{m+2}^{\text{RR},A_1} \right) A_1 \right] \right\}_{d=4} J_m$$

Az RR járulékból külön levonások regularizálják az **egy** illetve két **feloldatlan** parthoz tartozó szingularitásokat

$$\sigma_{m+2}^{\text{NNLO}} = \int_{m+2} \left\{ d\sigma_{m+2}^{\text{RR}} J_{m+2} - d\sigma_{m+2}^{\text{RR},A_2} J_m - \left[d\sigma_{m+2}^{\text{RR},A_1} J_{m+1} - d\sigma_{m+2}^{\text{RR},A_{12}} J_m \right] \right\}_{d=4}$$

- A_1 és A_2 metszete nem üres $\Rightarrow A_{12}$ szerepe a dupla levonás elkerülése a metszeten

Az RV járulékból csak egyszeresen feloldatlan valós emisszió fordul elő

$$\sigma_{m+1}^{\text{NNLO}} = \int_{m+1} \left\{ \left[d\sigma_{m+1}^{\text{RV}} + \int_1 d\sigma_{m+2}^{\text{RR},A_1} \right] J_{m+1} - \left[d\sigma_{m+1}^{\text{RV},A_1} + \left(\int_1 d\sigma_{m+2}^{\text{RR},A_1} \right) A_1 \right] J_m \right\}_{d=4}$$

- Az integrált A_1 az RR járulékból maga is szinguláris \Rightarrow ehhez a taghoz saját levonást kell bevezetni (utolsó tag)

Az m -partonos járulékból a duplán virtuális korrekciót és integrált levonásokat tartalmaz

$$\sigma_m^{\text{NNLO}} = \int_m \left\{ d\sigma_m^{\text{VV}} + \int_2 \left[d\sigma_{m+2}^{\text{RR},A_2} - d\sigma_{m+2}^{\text{RR},A_{12}} \right] + \int_1 \left[d\sigma_{m+1}^{\text{RV},A_1} + \left(\int_1 d\sigma_{m+2}^{\text{RR},A_1} \right) A_1 \right] \right\}_{d=4} J_m$$

Az RR járulékból külön levonások regularizálják az egy illetve két feladatlan parthoz tartozó szingularitásokat

$$\sigma_{m+2}^{\text{NNLO}} = \int_{m+2} \left\{ d\sigma_{m+2}^{\text{RR}} J_{m+2} - d\sigma_{m+2}^{\text{RR},A_2} J_m - \left[d\sigma_{m+2}^{\text{RR},A_1} J_{m+1} - d\sigma_{m+2}^{\text{RR},A_{12}} J_m \right] \right\}_{d=4}$$

- A_1 és A_2 metszete nem üres $\Rightarrow A_{12}$ szerepe a dupla levonás elkerülése a metszeten

Az RV járulékból csak egyszeresen feladatlan valós emisszió fordul elő

$$\sigma_{m+1}^{\text{NNLO}} = \int_{m+1} \left\{ \left[d\sigma_{m+1}^{\text{RV}} + \int_1 d\sigma_{m+2}^{\text{RR},A_1} \right] J_{m+1} - \left[d\sigma_{m+1}^{\text{RV},A_1} + \left(\int_1 d\sigma_{m+2}^{\text{RR},A_1} \right) A_1 \right] J_m \right\}_{d=4}$$

- Az integrált A_1 az RR járulékból maga is szinguláris \Rightarrow ehhez a taghoz saját levonást kell bevezetni (utolsó tag)

Az m -partonos járulékból a duplán virtuális korrekciót és integrált levonásokat tartalmaz

$$\sigma_m^{\text{NNLO}} = \int_m \left\{ d\sigma_m^{\text{VV}} + \int_2 \left[d\sigma_{m+2}^{\text{RR},A_2} - d\sigma_{m+2}^{\text{RR},A_{12}} \right] + \int_1 \left[d\sigma_{m+1}^{\text{RV},A_1} + \left(\int_1 d\sigma_{m+2}^{\text{RR},A_1} \right) A_1 \right] \right\}_{d=4} J_m$$

Az RR járulékból külön levonások regularizálják az egy illetve két feladatlan parthonhoz tartozó szingularitásokat

$$\sigma_{m+2}^{\text{NNLO}} = \int_{m+2} \left\{ d\sigma_{m+2}^{\text{RR}} J_{m+2} - d\sigma_{m+2}^{\text{RR},A_2} J_m - \left[d\sigma_{m+2}^{\text{RR},A_1} J_{m+1} - d\sigma_{m+2}^{\text{RR},A_{12}} J_m \right] \right\}_{d=4}$$

- A_1 és A_2 metszete nem üres $\Rightarrow A_{12}$ szerepe a **dupla levonás elkerülése** a metszeten

Az RV járulékból csak egyszeresen feladatlan valós emisszió fordul elő

$$\sigma_{m+1}^{\text{NNLO}} = \int_{m+1} \left\{ \left[d\sigma_{m+1}^{\text{RV}} + \int_1 d\sigma_{m+2}^{\text{RR},A_1} \right] J_{m+1} - \left[d\sigma_{m+1}^{\text{RV},A_1} + \left(\int_1 d\sigma_{m+2}^{\text{RR},A_1} \right) A_1 \right] J_m \right\}_{d=4}$$

- Az integrált A_1 az RR járulékból maga is szinguláris \Rightarrow ehhez a taghoz saját levonást kell bevezetni (utolsó tag)

Az m -partonos járulékból a duplán virtuális korrekciót és integrált levonásokat tartalmaz

$$\sigma_m^{\text{NNLO}} = \int_m \left\{ d\sigma_m^{\text{VV}} + \int_2 \left[d\sigma_{m+2}^{\text{RR},A_2} - d\sigma_{m+2}^{\text{RR},A_{12}} \right] + \int_1 \left[d\sigma_{m+1}^{\text{RV},A_1} + \left(\int_1 d\sigma_{m+2}^{\text{RR},A_1} \right) A_1 \right] \right\}_{d=4} J_m$$

Az RR járulékból külön levonások regularizálják az egy illetve két feloldatlan partonhoz tartozó szingularitásokat

$$\sigma_{m+2}^{\text{NNLO}} = \int_{m+2} \left\{ d\sigma_{m+2}^{\text{RR}} J_{m+2} - d\sigma_{m+2}^{\text{RR},A_2} J_m - \left[d\sigma_{m+2}^{\text{RR},A_1} J_{m+1} - d\sigma_{m+2}^{\text{RR},A_{12}} J_m \right] \right\}_{d=4}$$

- A_1 és A_2 metszete nem üres $\Rightarrow A_{12}$ szerepe a dupla levonás elkerülése a metszeten

Az RV járulékból csak **egyszeresen feloldatlan** valós emisszió fordul elő

$$\sigma_{m+1}^{\text{NNLO}} = \int_{m+1} \left\{ \left[d\sigma_{m+1}^{\text{RV}} + \int_1 d\sigma_{m+2}^{\text{RR},A_1} \right] J_{m+1} - \left[d\sigma_{m+1}^{\text{RV},A_1} + \left(\int_1 d\sigma_{m+2}^{\text{RR},A_1} \right) A_1 \right] J_m \right\}_{d=4}$$

- Az integrált A_1 az RR járulékból maga is szinguláris \Rightarrow ehhez a taghoz saját levonást kell bevezetni (utolsó tag)

Az m -partonos járulékból a duplán virtuális korrekciót és integrált levonásokat tartalmaz

$$\sigma_m^{\text{NNLO}} = \int_m \left\{ d\sigma_m^{\text{VV}} + \int_2 \left[d\sigma_{m+2}^{\text{RR},A_2} - d\sigma_{m+2}^{\text{RR},A_{12}} \right] + \int_1 \left[d\sigma_{m+1}^{\text{RV},A_1} + \left(\int_1 d\sigma_{m+2}^{\text{RR},A_1} \right) A_1 \right] \right\}_{d=4} J_m$$

Az RR járulékból külön levonások regularizálják az egy illetve két feladatlan parthoz tartozó szingularitásokat

$$\sigma_{m+2}^{\text{NNLO}} = \int_{m+2} \left\{ d\sigma_{m+2}^{\text{RR}} J_{m+2} - d\sigma_{m+2}^{\text{RR},A_2} J_m - \left[d\sigma_{m+2}^{\text{RR},A_1} J_{m+1} - d\sigma_{m+2}^{\text{RR},A_{12}} J_m \right] \right\}_{d=4}$$

- A_1 és A_2 metszete nem üres $\Rightarrow A_{12}$ szerepe a dupla levonás elkerülése a metszeten

Az RV járulékból csak egyszeresen feladatlan valós emisszió fordul elő

$$\sigma_{m+1}^{\text{NNLO}} = \int_{m+1} \left\{ \left[d\sigma_{m+1}^{\text{RV}} + \int_1 d\sigma_{m+2}^{\text{RR},A_1} \right] J_{m+1} - \left[d\sigma_{m+1}^{\text{RV},A_1} + \left(\int_1 d\sigma_{m+2}^{\text{RR},A_1} \right) A_1 \right] J_m \right\}_{d=4}$$

- Az integrált A_1 az RR járulékból maga is szinguláris \Rightarrow ehhez a taghoz saját levonást kell bevezetni (utolsó tag)

Az m -partonos járulékból a duplán virtuális korrekciót és integrált levonásokat tartalmaz

$$\sigma_m^{\text{NNLO}} = \int_m \left\{ d\sigma_m^{\text{VV}} + \int_2 \left[d\sigma_{m+2}^{\text{RR},A_2} - d\sigma_{m+2}^{\text{RR},A_{12}} \right] + \int_1 \left[d\sigma_{m+1}^{\text{RV},A_1} + \left(\int_1 d\sigma_{m+2}^{\text{RR},A_1} \right) A_1 \right] \right\}_{d=4} J_m$$

Közelítő hatáskeresztmetszetek megszerkesztése

A CoLoRFuNNLO módszerben a közelítő hatáskeresztmetszetek explicit megszerkesztésének kiindulópontjául a QCD mátrixelemek szingularitás szerkezetét leíró **infravörös faktorizációs tételek** szolgálnak.

[Del Duca, SG, Trócsányi 2006; SG, Trócsányi 2006; SG 2009]

- a valós emisszió szingularitás szerkezete **univerzális** (folyamatfüggetlen)

$$|\mathcal{M}_{m+q}(\{p_m, p_q\})|^2 \xrightarrow{\{p_q\} \text{ feloldatlan}} (8\pi\alpha_S\mu^{2\epsilon})^q \underbrace{\text{Sing}_q(\{p_q\})}_{\text{nem függ } \mathcal{M}\text{-től}} \otimes |\mathcal{M}_m(\{p_m\})|^2$$



- az infravörös faktorizációs tételek konkrét alakjai **ismertek** minden NNLO rendben megjelenő szingularitásra

[Bern, Dixon, Dunbar, Kosower 1994; Campbell, Glover 1997; Catani, Grazzini 1998; Bern, Del Duca, Kilgore, Schmidt 1998-9; Del Duca, Frizzo, Maltoni 1999; Kosower, Uwer 1999; Catani, Grazzini 2000; Kosower 2002; Kosower 2003]

Az alábbi három problémára kell megoldást találni

1. El kell kerülni a többszörös levonást az átfedő szinguláris tartományokon: „**határesetek illesztése**”. PI. NLO rendben: kollineáris + lágy – kollineáris-lágy határeset

$$A_1 = \sum \left(C_1 + S_1 - C_1 \cap S_1 \right)$$

Duplán valós emisszióra NNLO rendben (szita-elv)

$$A_2 = \sum \left[C_2 + C_{1;1} + CS_{1;1} + S_2 - (C_2 \cap CS_{1;1} + C_2 \cap S_2 + C_{1;1} \cap CS_{1;1} + C_{1;1} \cap S_2 + CS_{1;1} \cap S_2) + (C_2 \cap CS_{1;1} \cap S_2 + C_{1;1} \cap CS_{1;1} \cap S_2) \right]$$

2. A faktorizációs képleteket értelmezni kell a teljes fázistéren: „**határesetek kiterjesztése**”. Pontosabban definiálni kell a faktorizációs tételekben megjelenő mennyiségeket a szinguláris tartományoktól távol.

$$\{p_m, p_q\} \longrightarrow \{\tilde{p}_m\} : d\phi_{m+q}(\{p_m, p_q\}; Q) = d\phi_m(\{\tilde{p}_m\}; Q)[dp_q]$$

3. A levonási tagokat **integrálni** kell a feloldatlan fázistér tartomány felett.

Levonási tagok definíciója: QCD infravörös faktorizációs tételek alapján, egzakt fázistér faktorizációt felhasználva

- explicit képletek a kezdeti állapotban hadront nem tartalmazó folyamatokra
- nehéz kvark-antikvark pár esetére is (a kvarktömeg plusz technikai nehézség)
- tetszőleges kezdeti állapotokra való kiterjesztés folyamatban

A fázistéren teljesen differenciális, lokális levonási tagok

- tetszőleges infravörös és kollineáris biztonságos mennyiség számolható $d = 4$ dimenzióban
- a levonási tagok tartalmazzák a feloldatlan emisszióban fellépő spin és szín korrelációkat

Az integrált levonási tagok ϵ -pólusai analitikusan ismertek

- a duplán virtuális járuléokban a póluskiejtés expliciten ellenőrizhető

A módszer folyamatfüggetlen módon implementálható numerikus kódban

- hatékony, kiváló numerikus pontosság és stabilitás

Alkalmazások

A CoLoRFuNNLO módszer alkalmazásai

- Higgs-bozon bomlása (tömeges) b-kvark párra NNLO rendben

[Del Duca, Duhr, SG, Tramontano, Trócsányi 2015;
SG, Tramontano 2020]

- alakváltozók az $e^+e^- \rightarrow 3j$ folyamatban NNLO rendben

[Del Duca, Duhr, Kardos, SG, Trócsányi 2016;
Del Duca, Duhr, Kardos, SG, Szőr, Trócsányi, Tulipánt 2016]

- $pp \rightarrow VH \rightarrow \bar{l}l b\bar{b} + X$ keltés az LHC-n NNLO rendben

[Ferrera, SG, Tramontano 2018]

- energia-energia korreláció és az erős csatolás megmérése

[Del Duca, Duhr, Kardos, SG, Trócsányi 2016;
Tulipánt, Kardos, SG 2017; Kardos, Kluth, SG, Tulipánt,
Verbytskyi, 2018]

- fészült alakváltozók az $e^+e^- \rightarrow 3j$ folyamatban NNLO rendben

[Kardos, SG, Trócsányi 2018]

- dzset ráták és az erős csatolás megmérése

[Verbytskyi, Banfi, Kardos, Monni, Kluth, SG, Szőr, Trócsányi,
Tulipánt, Zanderighi 2019]

Motivációk

- Higgs-bozon elsősorban b-kvarkokba bomlik, a $\text{Br}(H \rightarrow b\bar{b}) = \Gamma_{H \rightarrow b\bar{b}}/\Gamma_H = 0.58$ ($m_H = 125$ GeV)
- a $H \rightarrow b\bar{b}$ bomlás kimutatásához a legérzékenyebb Higgs-bozon keltési csatorna az asszociált VH keletkezés
- egyedülálló folyamat, amelyben a Higgs-bozon mind vektorbozonokhoz, mind d-típusú kvarkokhoz való csatolása tanulmányozható
- meghatározó járulék a Higgs-bozon szélességének bizonytalanságában

Elmélet

- a keskeny szélesség közelítés nagyon pontos ($\Gamma_H \ll m_H$), ezért a keltést és a bomlást leíró teljesen differenciális számolások ismerete elegendő
- a VH keltés leptonikus V bomlással NNLO QCD-ben ismert
[Ferrera, Grazzini, Tramontano 2011]
- a $H \rightarrow b\bar{b}$ bomlás NNLO QCD-ben ismert

[Anastasiou, Herzog, Lazopoulos 2012;
Del Duca, Duhr, SG, Tramontano, Trócsányi 2015]

Teljes NNLO QCD korrekció a $VH(b\bar{b})$ folyamathoz

A $pp \rightarrow VH + X \rightarrow l_1 l_2 b\bar{b} + X$ folyamat hatáskeresztmetszete a keskeny szélesség közelítésben

$$d\sigma_{pp \rightarrow VH \rightarrow Vb\bar{b}} = d\sigma_{pp \rightarrow VH} \times \frac{d\Gamma_{H \rightarrow b\bar{b}}}{\Gamma_H} = \left[\sum_{k=0}^{\infty} d\sigma_{pp \rightarrow VH}^{(k)} \right] \times \left[\frac{\sum_{k=0}^{\infty} \frac{d\Gamma_{H \rightarrow b\bar{b}}^{(k)}}{\Gamma_{H \rightarrow b\bar{b}}^{(k)}} \right] \times \text{Br}(H \rightarrow b\bar{b})$$

A teljes NNLO eredményben minden tagot meg kell tartani másodrendig ($k = 2$ -ig).

A korábbi részleges NNLO számolásokban a Higgs-bozon bomlásához tartozó NNLO korrekciót nem vették figyelembe

[Ferrera, Grazzini, Tramontano 2014-5
Campbell, Ellis, Williams 2016]

$$d\sigma_{pp \rightarrow VH \rightarrow Vb\bar{b}}^{\text{NNLO(prod)+NLO(dec)}} = \left[d\sigma_{pp \rightarrow VH}^{(0)} \times \frac{d\Gamma_{H \rightarrow b\bar{b}}^{(0)} + d\Gamma_{H \rightarrow b\bar{b}}^{(1)}}{\Gamma_{H \rightarrow b\bar{b}}^{(0)} + \Gamma_{H \rightarrow b\bar{b}}^{(1)}} + \left(d\sigma_{pp \rightarrow VH}^{(1)} + d\sigma_{pp \rightarrow VH}^{(2)} \right) \times \frac{d\Gamma_{H \rightarrow b\bar{b}}^{(0)}}{\Gamma_{H \rightarrow b\bar{b}}^{(0)}} \right] \times \text{Br}(H \rightarrow b\bar{b})$$

Újdonság: figyelembe vesszük az NNLO korrekciót a Higgs-bozon bomlásában, illetve a keltésben és bomlásban is NLO rendű korrekciók kombinációját

$$\begin{aligned}
 d\sigma_{pp \rightarrow VH \rightarrow Vb\bar{b}}^{\text{NNLO}} = & \left[d\sigma_{pp \rightarrow VH}^{(0)} \times \frac{d\Gamma_{H \rightarrow b\bar{b}}^{(0)} + d\Gamma_{H \rightarrow b\bar{b}}^{(1)} + d\Gamma_{H \rightarrow b\bar{b}}^{(2)}}{\Gamma_{H \rightarrow b\bar{b}}^{(0)} + \Gamma_{H \rightarrow b\bar{b}}^{(1)} + \Gamma_{H \rightarrow b\bar{b}}^{(2)}} \right. \\
 & + d\sigma_{pp \rightarrow VH}^{(1)} \times \frac{d\Gamma_{H \rightarrow b\bar{b}}^{(0)} + d\Gamma_{H \rightarrow b\bar{b}}^{(1)}}{\Gamma_{H \rightarrow b\bar{b}}^{(0)} + \Gamma_{H \rightarrow b\bar{b}}^{(1)}} \\
 & \left. + d\sigma_{pp \rightarrow VH}^{(2)} \times \frac{d\Gamma_{H \rightarrow b\bar{b}}^{(0)}}{\Gamma_{H \rightarrow b\bar{b}}^{(0)}} \right] \times \text{Br}(H \rightarrow b\bar{b})
 \end{aligned}$$

Kinematikai vágások

$$pp \rightarrow W^+ H + X \rightarrow l \nu_l b \bar{b} + X$$

- $p_{\text{T}}^l > 15 \text{ GeV}$, $|\eta_l| < 2.5$
- $E_{\text{T}}^{\text{miss}} > 30 \text{ GeV}$
- $p_{\text{T}}^W > 150 \text{ GeV}$
- ≥ 2 b -dzset, $p_{\text{T}}^b > 25 \text{ GeV}$ és $|\eta_b| < 2.5$

$$pp \rightarrow ZH + X \rightarrow \nu \nu b \bar{b} + X$$

- $E_{\text{T}}^{\text{miss}} > 150 \text{ GeV}$
- ≥ 2 b -dzset, $p_{\text{T}}^b > 25 \text{ GeV}$ és $|\eta_b| < 2.5$

Kinematikai vágások

$$pp \rightarrow W^+H + X \rightarrow l\nu_l b\bar{b} + X$$

- $p_{\text{T}}^l > 15 \text{ GeV}$, $|\eta_l| < 2.5$
- $E_{\text{T}}^{\text{miss}} > 30 \text{ GeV}$
- $p_{\text{T}}^W > 150 \text{ GeV}$
- ≥ 2 b -dzset, $p_{\text{T}}^b > 25 \text{ GeV}$ és $|\eta_b| < 2.5$

$$pp \rightarrow ZH + X \rightarrow \nu\nu b\bar{b} + X$$

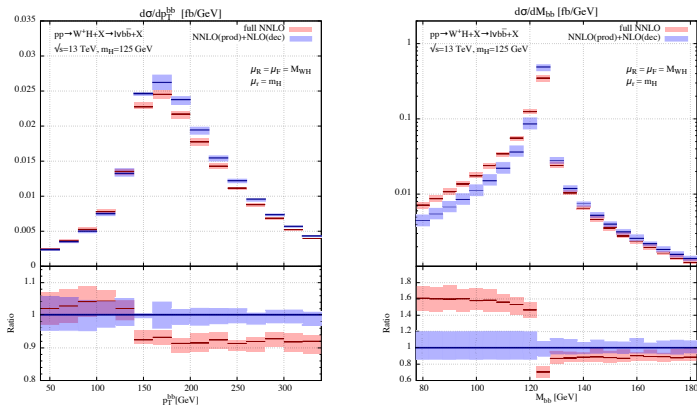
- $E_{\text{T}}^{\text{miss}} > 150 \text{ GeV}$
- ≥ 2 b -dzset, $p_{\text{T}}^b > 25 \text{ GeV}$ és $|\eta_b| < 2.5$

Számolt hatáskeresztmetszetek a $\sqrt{s} = 13 \text{ TeV}$ -es LHC-n

σ (fb)	NNLO(prod)+NLO(dec)	teljes NNLO
$pp \rightarrow W^+H + X \rightarrow l\nu_l b\bar{b} + X$	$3.94^{+1\%}_{-1.5\%}$	$3.70^{+1.5\%}_{-1.5\%}$
$pp \rightarrow ZH + X \rightarrow \nu\nu b\bar{b} + X$	$8.65^{+4.5\%}_{-3.5\%}$	$8.24^{+4.5\%}_{-3.5\%}$

- Az NNLO(prod)+NLO(dec) eredményhez képest a teljes NNLO számolás $\sim 5\text{--}6\%$ -al kisebb hatáskeresztmetszeteket ad (a bizonytalanságok a skálavariációt tükrözik)

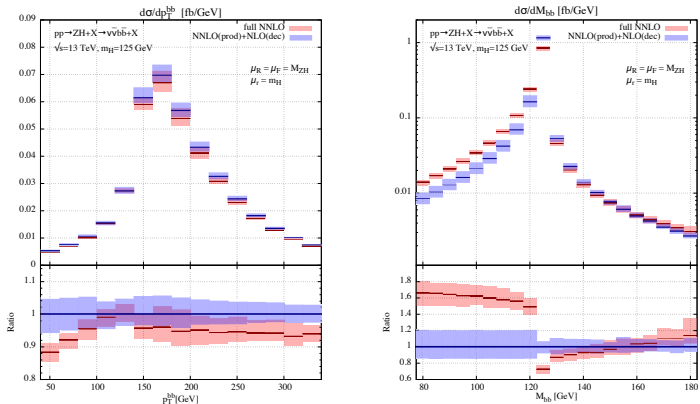
A vezető b -dzet pár transzverzális impulzusa és invariáns tömege: $W^+H(b\bar{b})$



[Ferrera, SG, Tramontano 2018]

- A teljes NNLO számolásban figyelembe vett tagok lényegesen befolyásolják az eloszlások alakjait: $-8\% - +5\%$ korrekciók a $p_T^{b\bar{b}}$ eloszlásban és $-30\% - +60\%$ korrekciók az $M_{b\bar{b}}$ eloszlásban!

A vezető b -dzset pár transzverzális impulzusa és invariáns tömege: $ZH(b\bar{b})$



[Ferrera, SG, Tramontano 2018]

- A teljes NNLO számolásban figyelembe vett tagok lényegesen befolyásolják az eloszlások alakjait: -10% – -5% korrekciók a $p_T^{b\bar{b}}$ eloszlásban és -30% – $+70\%$ korrekciók az $M_{b\bar{b}}$ eloszlásban!

Az erős csatolás meghatározása dzset rátákból

Az erős csatolás (α_S) a részecskefizikai standard modell egyik alapvető paramétere, a kvarkok és gluonok közötti kölcsönhatás erősségét méri. Értéke (egy adott energián) természeti állandó.

- Precíz ismerete fontos az elemirész-ütközések nagy pontosságú leírásához, így az LHC által mért adatok lehető legteljesebb kiaknázásához.
- A legkevésbé pontosan ismert csatolás: $\Delta\alpha_S(M_Z)/\alpha_S(M_Z) \sim 1\%$.

Csatolás	Jelölés	Érték	Hiba ($\times 10^{-9}$)
finomszerkezeti állandó	α_{EM}	$7.2973525664(17) \times 10^{-3}$	0.23
Fermi állandó	G_F	$1.1663787(6) \times 10^{-5} \text{ GeV}^{-2}$	510
erős csatolás	$\alpha_S(M_Z)$	0.1181(11)	9.3×10^6
gravitációs állandó	G_N	$6.67408(31) \times 10^{-11} \text{ m}^3 \text{ kg}^{-1} \text{ s}^{-2}$	4.7×10^4

- Értékét elméleti számolások mért adatokhoz történő illesztésével határozzuk meg.
- Egy lehetőség: hadronos végállapotok, pl. dzset keletkezés, vizsgálata elektron-pozitron szétsugárzásban.

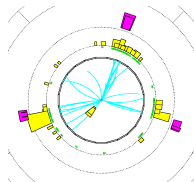
A QCD egy fontos jóslata: az elektron-pozitron szétsugárzásban keletkező hadronok dzsetekbe – hadron nyalábokba – szerveződnek.

Azt, hogy egy esemény hány dzsetet tartalmaz, illetve, hogy egy adott hadron pontosan melyik dzsethez tartozik, **dzset kereső algoritmusokkal** tudjuk pontosan definiálni. Pl. a **Durham algoritmusban** a végállapoti objektumok impulzusai között definiáljuk az alábbi „távolságot”:

$$y_{ij} = 2 \frac{\min(E_i^2, E_j^2)}{E_{\text{vis}}^2} (1 - \cos \theta_{ij})$$

A dzseteket az alábbi rekurzív algoritmus definiálja:

1. Megkeressük a legkisebb y_{ij} -t, legyen ez $\min(y_{ij}) = y_{kl}$.
2. Ha y_{kl} nagyobb, mint egy előre rögzített y_{cut} érték (azaz $\min(y_{ij}) > y_{\text{cut}}$), készen vagyunk, minden végállapoti objektum egy dzset.
3. Ha $y_{kl} < y_{\text{cut}}$, akkor az k -ik és l -ik objektumot egyetlen új objektumba kombináljuk, melynek impulzusa egyszerűen $p_k^\mu + p_l^\mu$.



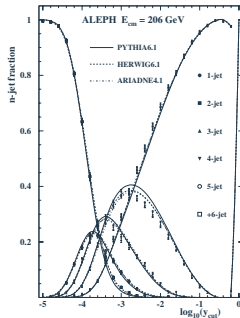
Dzset ráták elektron-positron szétsugárzásban

Dzset ráták: Az n -dzset ráta R_n a pontosan n db dzsetet tartalmazó események hányada rögzített y_{cut} -ra:

$$R_n(y_{\text{cut}}) = \frac{\sigma_{n\text{-jet}}(y_{\text{cut}})}{\sigma_{\text{tot}}}$$

Kísérlet

- nagy y_{cut} -ra sokszor kombinálunk objektumokat
⇒ kevés dzset
- kis y_{cut} -ra kevésszer kombinálunk objektumokat
⇒ sok dzset
- a dzset rátákra vonatkozóan számos pontos mérés áll rendelkezésre, széles energiatartományon, a PETRA és LEP gyorsítók kísérletei nyomán



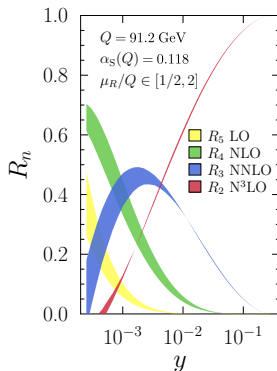
[ALEPH Coll., Eur. Phys. J. **C35**, 457 (2004)]

Dzset ráták: Az n -dzset ráta R_n a pontosan n db dzsetet tartalmazó események hányada rögzített y_{cut} -ra:

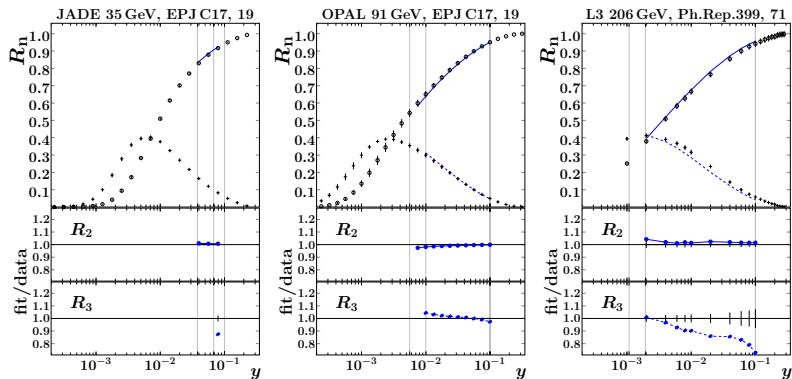
$$R_n(y_{\text{cut}}) = \frac{\sigma_{n\text{-jet}}(y_{\text{cut}})}{\sigma_{\text{tot}}}$$

Elmélet

- nagyon pontos elméleti jóslat, különösen R_2 -re: az $N^3\text{LO} + \text{NNLL}$ rendű QCD korrekciók ismertek
- a parton-hadron átmenettel kapcsolatos korrekciókat modern Monte Carlo eseménygenerátorok segítségével lehet megbecsülni
- az elméleti jóslatot a kísérleti adatokkal összevetve, illesztéssel megkapható az erős csatolás értéke, $\alpha_S(M_Z)$



Az illesztés eredménye néhány energián



[Verbytskyi, Banfi, Kardos, Monni, Kluth, SG, Ször, Trócsányi, Tulipánt, Zanderighi 2019]

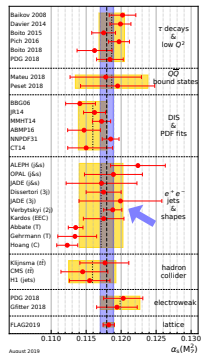
- az illesztési határok energiafüggőek, hogy elkerüljünk minden olyan tartományt, ahol az elméleti modellezés valamely eleme nem megbízható

A legjobb illesztés mellett az alábbi $\alpha_S(M_Z)$ értéket kapjuk

$$\alpha_S(M_Z) = 0.11881 \pm 0.00063 \text{ (exp.)} \pm 0.00101 \text{ (hadr.)} \pm 0.00045 \text{ (ren.)} \pm 0.00034 \text{ (res.)}$$

$$\alpha_S(M_Z) = 0.11881 \pm 0.00131 \text{ (comb.)}$$

- hasonló mérések között először a hadronizációs korrekció becsléséhez kapcsolódó bizonytalanság (*hadr.*) nagyobb, mint a perturbatív bizonytalanság (*ren.*) és (*res.*)
- ez a nagyon pontos (magas perturbatív rendű) elméleti leírásnak köszönhető
- az eredmény szerepel az erős csatolás legfrissebb világátlagának meghatározásában



[PDG Review of Particle Physics (2021)]

Összefoglalás

A nagyenergiás elemirész-ütközések nagy pontosságú leírása szükségessé teszi NNLO QCD korrekciók kiszámítását számos folyamathoz.

Az NNLO korrekció kiszámítása két alapvető problémát vet fel:

1. ki tudjuk-e számolni a releváns (két-hurok) mátrixelemeket?
2. fel tudjuk-e használni azokat hatáskeresztmetszetek kiszámítására?

A hatáskeresztmetszet számítása során a közbenső lépésekben infravörös divergenciák lépnek fel.

CoLoRFuNNLO módszer: Completely Local subRactions for Fully differential NNLO

- levonási eljárás az infravörös divergenciák kezelésére
- infravörös faktorizációs tételek alapján megszerkesztett közelítő hatáskeresztmetszetek
- a levonási tagok analitikus integrálása modern módszerekkel kivitelezhető
- hatékony, kiváló numerikus pontosság és stabilitás

Alkalmazások:

- Higgs-bozon bomlása b-kvarkokba, VH keltés $H \rightarrow b\bar{b}$ bomlással az LHC-n
- alakváltozók és fésült alakváltozók e^+e^- szétsugárzásban
- energia-energia korreláció és dzset ráták e^+e^- szétsugárzásban és az erős csatolás új meghatározásai

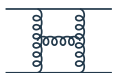
Következő feladat: hadronos kezdeti állapotok kezelése

Köszönöm szépen a figyelmet!

Tartalék diák

Egy általános m -dzset hatáskeresztmetszet NNLO rendű kiszámolásához ismerni kell az alábbi mátrixelemeket

- két-hurok (VV)



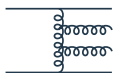
- m -részecskés kinematika, két-hurok (duplán virtuális)
- $2 \rightarrow 2$ ismert (ideértve a $pp \rightarrow VV$ keltést is)
- $2 \rightarrow m$, $m > 2$ nagyon nehéz, bár nagyon gyors fejlődés

- egy-hurok (RV)



- $m + 1$ -részecskés kinematika, egy-hurok (valós-virtuális)
- NLO szintű nehézség, ismert módszerek

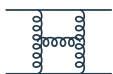
- fa szintű (RR)



- $m + 2$ -részecskés kinematika, fa szintű (duplán valós)
- LO szintű nehézség, mára „könnyű”

Egy általános m -dzset hatáskeresztmetszet NNLO rendű kiszámolásához ismerni kell az alábbi mátrixelemeket

- két-hurok (VV)



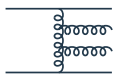
- m -részecskés kinematika, két-hurok (duplán virtuális)
- $2 \rightarrow 2$ ismert (ideértve a $pp \rightarrow VV$ keltést is)
- $2 \rightarrow m$, $m > 2$ nagyon nehéz, bár nagyon gyors fejlődés

- egy-hurok (RV)



- $m + 1$ -részecskés kinematika, egy-hurok (valós-virtuális)
- NLO szintű nehézség, ismert módszerek

- fa szintű (RR)



- $m + 2$ -részecskés kinematika, fa szintű (duplán valós)
- LO szintű nehézség, mára „könnyű”

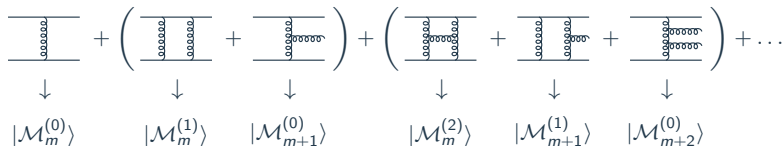
Amennyiben a szükséges mátrixelemek ismertek, fel tudjuk-e használni azokat hatáskeresztmetszetek kiszámolására?

A hatáskeresztmetszet NNLO rendben

A hatáskeresztmetszet a mátrixelem **négyzetétől** függ

$$\text{hatáskeresztmetszet} = \int |\text{mátrixelem}|^2 \times \text{fázistér}$$

A mátrixelem szerkezete NNLO rendben



The diagram shows a series of Feynman diagrams representing the structure of the matrix element at NNLO. It starts with a tree-level diagram (two external lines connected by a vertical line with a wavy loop) which is identified as $|\mathcal{M}_m^{(0)}\rangle$. This is followed by a term in parentheses containing two diagrams: one with a wavy loop on the left and a gluon loop on the right, and another with a gluon loop on the left and a wavy loop on the right, identified as $|\mathcal{M}_m^{(1)}\rangle$ and $|\mathcal{M}_{m+1}^{(0)}\rangle$ respectively. The next term is another parentheses containing three diagrams: a gluon loop on the left and a gluon loop on the right, a gluon loop on the left and a wavy loop on the right, and a wavy loop on the left and a gluon loop on the right, identified as $|\mathcal{M}_m^{(2)}\rangle$, $|\mathcal{M}_{m+1}^{(1)}\rangle$, and $|\mathcal{M}_{m+2}^{(0)}\rangle$ respectively. The series ends with $+\dots$.

$$\begin{array}{c} \text{---} \\ | \\ \text{---} \\ \downarrow \\ |\mathcal{M}_m^{(0)}\rangle \end{array} + \left(\begin{array}{c} \text{---} \\ | \\ \text{---} \\ \downarrow \\ |\mathcal{M}_m^{(1)}\rangle \end{array} + \begin{array}{c} \text{---} \\ | \\ \text{---} \\ \downarrow \\ |\mathcal{M}_{m+1}^{(0)}\rangle \end{array} \right) + \left(\begin{array}{c} \text{---} \\ | \\ \text{---} \\ \downarrow \\ |\mathcal{M}_m^{(2)}\rangle \end{array} + \begin{array}{c} \text{---} \\ | \\ \text{---} \\ \downarrow \\ |\mathcal{M}_{m+1}^{(1)}\rangle \end{array} + \begin{array}{c} \text{---} \\ | \\ \text{---} \\ \downarrow \\ |\mathcal{M}_{m+2}^{(0)}\rangle \end{array} \right) + \dots$$

A mátrixelemet négyzetre emelve

$$\begin{aligned}
 & \left| \begin{array}{c} \text{---} \\ \text{---} \\ \text{---} \\ \text{---} \end{array} + \left(\begin{array}{c} \text{---} \\ \text{---} \\ \text{---} \\ \text{---} \end{array} + \begin{array}{c} \text{---} \\ \text{---} \\ \text{---} \\ \text{---} \end{array} \right) + \left(\begin{array}{c} \text{---} \\ \text{---} \\ \text{---} \\ \text{---} \end{array} + \begin{array}{c} \text{---} \\ \text{---} \\ \text{---} \\ \text{---} \end{array} + \begin{array}{c} \text{---} \\ \text{---} \\ \text{---} \\ \text{---} \end{array} \right) + \dots \right|^2 = \\
 & = \underbrace{\begin{array}{c} \text{---} \\ \text{---} \\ \text{---} \\ \text{---} \end{array}}_B \\
 & + \left[\underbrace{2\Re \left(\begin{array}{c} \text{---} \\ \text{---} \\ \text{---} \\ \text{---} \end{array} \right)}_V + \underbrace{\begin{array}{c} \text{---} \\ \text{---} \\ \text{---} \\ \text{---} \end{array}}_R \right] \\
 & + \left[\underbrace{2\Re \left(\begin{array}{c} \text{---} \\ \text{---} \\ \text{---} \\ \text{---} \end{array} \right)}_{VV} + \begin{array}{c} \text{---} \\ \text{---} \\ \text{---} \\ \text{---} \end{array} + \underbrace{2\Re \left(\begin{array}{c} \text{---} \\ \text{---} \\ \text{---} \\ \text{---} \end{array} \right)}_{RV} + \underbrace{\begin{array}{c} \text{---} \\ \text{---} \\ \text{---} \\ \text{---} \end{array}}_{RR} \right] + \dots
 \end{aligned}$$

A jobb oldalon álló három sor az LO, NLO és NNLO járulékot tartalmazza

- LO = B (Born)

A mátrixelemet négyzetre emelve

$$\begin{aligned}
 & \left| \text{---} \begin{array}{c} \text{---} \\ \text{---} \end{array} \text{---} + \left(\text{---} \begin{array}{c} \text{---} \\ \text{---} \end{array} \text{---} + \text{---} \begin{array}{c} \text{---} \\ \text{---} \end{array} \text{---} \right) + \left(\text{---} \begin{array}{c} \text{---} \\ \text{---} \end{array} \text{---} + \text{---} \begin{array}{c} \text{---} \\ \text{---} \end{array} \text{---} + \text{---} \begin{array}{c} \text{---} \\ \text{---} \end{array} \text{---} \right) + \dots \Big|^2 = \\
 & = \underbrace{\text{---} \begin{array}{c} \text{---} \\ \text{---} \end{array} \text{---}}_B \\
 & + \left[2\Re \left(\underbrace{\text{---} \begin{array}{c} \text{---} \\ \text{---} \end{array} \text{---}}_V + \underbrace{\text{---} \begin{array}{c} \text{---} \\ \text{---} \end{array} \text{---}}_R \right) \right] \\
 & + \left[2\Re \left(\underbrace{\text{---} \begin{array}{c} \text{---} \\ \text{---} \end{array} \text{---}}_{VV} + \text{---} \begin{array}{c} \text{---} \\ \text{---} \end{array} \text{---} + \underbrace{\text{---} \begin{array}{c} \text{---} \\ \text{---} \end{array} \text{---}}_{RV} + \underbrace{\text{---} \begin{array}{c} \text{---} \\ \text{---} \end{array} \text{---}}_{RR} \right) \right] + \dots
 \end{aligned}$$

A jobb oldalon álló három sor az LO, **NLO** és NNLO járulékot tartalmazza

- LO = B (Born)
- NLO = R + V (valós + virtuális)

A mátrixelemet négyzetre emelve

$$\begin{aligned}
 & \left| \text{---} \begin{array}{c} \text{---} \\ \text{---} \end{array} \text{---} + \left(\text{---} \begin{array}{c} \text{---} \\ \text{---} \end{array} \text{---} + \text{---} \begin{array}{c} \text{---} \\ \text{---} \end{array} \text{---} \right) + \left(\text{---} \begin{array}{c} \text{---} \\ \text{---} \end{array} \text{---} + \text{---} \begin{array}{c} \text{---} \\ \text{---} \end{array} \text{---} + \text{---} \begin{array}{c} \text{---} \\ \text{---} \end{array} \text{---} \right) + \dots \Big|^2 = \\
 & = \underbrace{\text{---} \begin{array}{c} \text{---} \\ \text{---} \end{array} \text{---}}_B + \\
 & + \left[\underbrace{2\Re \left(\text{---} \begin{array}{c} \text{---} \\ \text{---} \end{array} \text{---} \right)}_V + \underbrace{\text{---} \begin{array}{c} \text{---} \\ \text{---} \end{array} \text{---}}_R \right] \\
 & + \left[\underbrace{2\Re \left(\text{---} \begin{array}{c} \text{---} \\ \text{---} \end{array} \text{---} \right)}_{VV} + \underbrace{\text{---} \begin{array}{c} \text{---} \\ \text{---} \end{array} \text{---}}_{RV} + \underbrace{2\Re \left(\text{---} \begin{array}{c} \text{---} \\ \text{---} \end{array} \text{---} \right)}_{RV} + \underbrace{\text{---} \begin{array}{c} \text{---} \\ \text{---} \end{array} \text{---}}_{RR} \right] + \dots
 \end{aligned}$$

A jobb oldalon álló három sor az LO, NLO és NNLO járulékot tartalmazza

- LO = B (Born)
- NLO = R + V (valós + virtuális)
- NNLO = RR + RV + VV (duplán valós + valós-virtuális + duplán virtuális)

Az integrált közelítő hatáskeresztmetszetek kiszámítása

A valós emissziós járulékokat regularizáló közelítő hatáskeresztmetszeteket a feloldatlan parton vagy partonok impulzusa felett integrált alakban kell visszaadni a virtuális járulékokhoz.

- az integrálás elvégezhető egyszer és mindenkorra, folyamatfüggetlen módon
- a gyakorlatban több száz igen bonyolult, több dimenziós „mesterintegrált” kell kiértékelni
- a mesterintegrálok infravörös divergensek, a végeredmények ϵ -pólusokat tartalmaznak

A szimbolikus integrálás legmodernebb eszközeit felhasználva a az integrált közelítő hatáskeresztmetszetek pólusszerkezete analitikusan kiszámolható.

- a számolás döntő módon támaszkodik a d -dimenziós szögintegrálok Mellin-Barnes reprezentációjára, illetve az általánosított polilogaritmusok Hopf-algebra szerkezetére
- [SG 2011; Duhr, Gangl, Rhodes 2012; Duhr 2012]
- a végeredmény racionális függvényeket, logaritmusokat és klasszikus polilogaritmusokat tartalmaz

A **duplán lágy levonási tag** integrálása során többek közt felmerül az alábbi integrál:

$$\begin{aligned} \mathcal{I}_{2S,2}(Y_{ik,Q}; \epsilon, y_0, d'_0) &= -\frac{4\Gamma^4(1-\epsilon)}{\pi\Gamma^2(1-\epsilon)} \frac{B_{y_0}(-2\epsilon, d'_0)}{\epsilon} Y_{ik,Q} \int_0^{y_0} dy y^{-1-2\epsilon} (1-y)^{d'_0-1+\epsilon} \\ &\times \int_{-1}^1 d(\cos \vartheta) (\sin \vartheta)^{-2\epsilon} \int_{-1}^1 d(\cos \varphi) (\sin \varphi)^{-1-2\epsilon} [f(\vartheta, \varphi; 0)]^{-1} [f(\vartheta, \varphi; Y_{ik,Q})]^{-1} \\ &\times [Y(y, \vartheta, \varphi; Y_{ik,Q})]^{-\epsilon} {}_2F_1(-\epsilon, -\epsilon, 1-\epsilon, 1-Y(y, \vartheta, \varphi; Y_{ik,Q})) \end{aligned}$$

ahol

$$f(\vartheta, \varphi; Y_{ik,Q}) = 1 - 2\sqrt{Y_{ik,Q}(1-Y_{ik,Q})} \sin \vartheta \cos \varphi - (1-2Y_{ik,Q})\chi \cos \vartheta$$

$$Y(y, \vartheta, \varphi; \chi) = \frac{4(1-y)Y_{ik,Q}}{[2(1-y) + y f(\vartheta, \varphi; 0)][2(1-y) + y f(\vartheta, \varphi; Y_{ik,Q})]}$$

Az integrál pólusszerkezete **analitikusan kiértékelhető** ($y_0 = 1$, $d'_0 = 3 - 3\epsilon$)

$$\begin{aligned} \mathcal{I}_{2S,2}(Y; \epsilon, 1, 3 - 3\epsilon) = & \\ & = \frac{1}{2\epsilon^4} - \frac{1}{\epsilon^3} \left[\ln(Y) - 3 \right] + \frac{1}{\epsilon^2} \left[2\text{Li}_2(1 - Y) + \ln^2(Y) - \pi^2 - \left(\frac{2}{1 - Y} \right. \right. \\ & - \left. \frac{1}{2(1 - Y)^2} + \frac{9}{2} \right) \ln(Y) + \frac{1}{2(1 - Y)} + 16 \left. \right] + \frac{1}{\epsilon} \left[\frac{5}{3} \left(\frac{18\text{Li}_3(1 - Y)}{5} + \frac{6\text{Li}_3(Y)}{5} \right. \right. \\ & - \left. \frac{6\text{Li}_2(1 - Y)\ln(Y)}{5} - \frac{2}{5} \ln^3(Y) + \frac{3}{5} \ln(1 - Y)\ln^2(Y) + \pi^2 \ln(Y) - \frac{78\zeta_3}{5} \right) \\ & + \left(\frac{3}{1 - Y} - \frac{3}{4(1 - Y)^2} + \frac{15}{4} \right) \left(2\text{Li}_2(1 - Y) + \ln^2(Y) \right) - 6\pi^2 - \left(\frac{27}{2(1 - Y)} \right. \\ & \left. \left. - \frac{13}{4(1 - Y)^2} + \frac{91}{4} \right) \ln(Y) + \frac{19}{4(1 - Y)} + \frac{163}{2} \right] + O(\epsilon^0) \end{aligned}$$

- Megjegyzés: az $Y \rightarrow 1$ limesz véges

$$\lim_{Y \rightarrow 1} \mathcal{I}_{2S,2}(Y; \epsilon, 1, 3 - 3\epsilon) = \frac{1}{2\epsilon^4} + \frac{3}{\epsilon^3} + \frac{1}{\epsilon^2} \left(\frac{71}{4} - \pi^2 \right) + \frac{1}{\epsilon} \left(\frac{393}{4} - 6\pi^2 - 24\zeta_3 \right) + O(\epsilon^0)$$

Az integrál **véges részét** egy $Y \rightarrow 0$ határesetben szinguláris „aszimptotikus” részre és egy reguláris maradékra bontjuk

$$\mathcal{F}in\left(\mathcal{I}_{2S,2}(Y; \epsilon, 1, 3 - 3\epsilon)\right) = \mathcal{F}in\left(\mathcal{I}_{2S,2}^{\text{asy}}(Y; \epsilon, 1, 3 - 3\epsilon)\right) + \mathcal{F}in\left(\mathcal{I}_{2S,2}^{\text{reg}}(Y; \epsilon, 1, 3 - 3\epsilon)\right)$$

- az $Y \rightarrow 0$ határesetben szinguláris tagok

$$\begin{aligned}\mathcal{F}in\left(\mathcal{I}_{2S,2}^{\text{asy}}(Y; \epsilon, 1, 3 - 3\epsilon)\right) &= \frac{\log^4(Y)}{3} - 4 \log^3(Y) - \frac{4}{3} \pi^2 \log^2(Y) + 33 \log^2(Y) \\ &\quad + 40\zeta_3 \log(Y) + 8\pi^2 \log(Y) - \frac{345 \log(Y)}{2}\end{aligned}$$

- a reguláris maradékot, $\mathcal{F}in\left(\mathcal{I}_{2S,2}^{\text{reg}}(Y; \epsilon, 1, 3 - 3\epsilon)\right)$ -t, numerikusan értékeljük ki